



سنجش از دور

GIS ایران



سال هفتم، شماره چهارم، زمستان ۱۳۹۴
Vol.7, No. 4, Winter 2016

سنجش از دور و GIS ایران
Iranian Remote Sensing & GIS

۱۲-۲۶

بررسی تأثیر ریزگردها در بازتابندگی طیفی تاج پوشش گندم

حسینعلی بهرامی^{۱*}، سهیم میرزایی^۲، علی درویشی بلورانی^۳، روشنک درویشزاده^۴، سید کاظم علوی پناه^۵

۱. دانشیار گروه خاک‌شناسی، دانشکده کشاورزی، دانشگاه تربیت مدرس

۲. دانشجوی دکتری سنجش از دور و GIS، دانشکده جغرافیا، دانشگاه تهران

۳. استادیار گروه سنجش از دور و GIS، دانشکده جغرافیا، دانشگاه تهران

۴. استادیار گروه NRS، دانشکده ITC، دانشگاه تونت، هلند

۵. استاد گروه سنجش از دور و GIS دانشکده جغرافیا، دانشگاه تهران

تاریخ پذیرش مقاله: ۱۳۹۴/۳/۲۰

تاریخ دریافت مقاله: ۱۳۹۳/۲/۷

چکیده

فرابوی و شدت وقوع پدیده طوفان‌های گردوبغار طی چند سال اخیر در منطقه غرب آسیا و بهویژه در کشور ایران، افزایش پیدا کرده است. تاکنون آثار زیبای این پدیده در مراحل گوناگون زندگی گیاهی، جانوری و انسانی بررسی شده است. در این پژوهش، تأثیر این پدیده در بازتابندگی طیفی گیاه گندم که مهمنه‌ترین گونه کشاورزی کشور به شمار می‌رود، بررسی و باندهای بهینه برای هریک از شاخص‌های باریک‌باند در مطالعه تأثیر این پدیده در گندم تعیین شده است. دو رقم از گندم (*Triticum aestivum L.*) در محیط گلخانه و در شرایط کنترل شده پرورش داده شد و با استفاده از دستگاه توپل باد در طول روزهای متفاوت، بدون گردوبغار، دو، چهار و شش روز، و دو دوره رشد متفاوت، سه‌برگی شدن و خوش‌دهی، درمعرض گردوبغار قرار گرفتند. اندازه‌گیری طیفی با استفاده از دستگاه طیف‌سنج Fieldspec-3-ASD با محدوده طیفی کامل انجام شد. چهار شاخص باریک‌باند طیفی جدید شامل SAVI، NDVI، RVI و PVI برای کل نمونه‌ها و همچنین، برای نمونه‌های مراحل سه‌برگی شده و خوش‌دهی به‌طور جداگانه محاسبه و همبستگی بین این شاخص‌ها و تعداد روزهای گردوبغاری بررسی شد. دقت نتایج تخمین تعداد روزهای گردوبغاری با استفاده از R^2 و RMSE و روش اعتبار متقابل سنجیده شد. فقط باندهای بهینه انتخاب شده در شاخص SAVI محاسبه شده برای داده‌های مرحله خوش‌دهی در محدوده طیفی SWIR قرار داشت. نتایج نشان دادند که در کل سه حالت، شاخص PVI ارتباط قوی‌تری (۰/۷۰، $RMSE = ۰/۸۰$ ، $R^2 = ۰/۶۳$) به نسبت دیگر شاخص‌ها، با تعداد روزهای گردوبغاری نشان می‌دهد. همچنین، شاخص‌ها قابلیت بهتری در تخمین تعداد روزهای گردوبغاری در داده‌های مرحله سه‌برگی شدن (۰/۷۷، $RMSE_{CV} = ۰/۶۷$ و $R^2_{CV} = ۰/۶۳$)، در مقایسه با داده‌های مرحله خوش‌دهی (۰/۹۱، $RMSE_{CV} = ۰/۷۳$ و $R^2_{CV} = ۰/۶۲$) نشان دادند. بنابراین، تعداد روزهای گردوبغاری با استفاده از روش شاخص‌های باریک باند در مراحل ابتدای رشد گیاه با دقت بالاتری تخمین زده می‌شود.

کلیدواژه‌ها: گردوبغار، گندم، شاخص‌های گیاهی باریک باند، بازتابندگی طیفی.

* نویسنده عهددار مکاتبات: دانشگاه تربیت مدرس، دانشکده کشاورزی، گروه خاک‌شناسی، تلفن ثابت: ۰۲۱۴۴۳۲۱۹۴۹۱، تلفن همراه: ۰۹۱۲۱۳۰۷۳۶۴

Email: bahramih@modares.ac.ir

۱- مقدمه

برگ‌ها (Manning, 1971)، کاهش میزان فتوسنتز گیاه (Armbrust, 1986)، کاهش وزن خشک، کاهش رشد گیاه، بسته شدن روزنه‌های برگ (Armbrust, 1986؛ Darley, 1996؛ Farmer, 1993 و Eueling, 1969) افزایش تعرق (Nanos & Ilias, 2007) اشاره کرد. همچنین، مطالعات گذشته نشان داده است که در صورت وجود فلزات سنگین در ریزگردها، آسیب‌های واردشده به سلول و آنزیم‌های سطح و داخل گیاهان بسیار افزایش می‌یابد و کارکردهای فیزیولوژیکی را تحت تأثیر قرار می‌دهد (Jilili et al., 2010). بنابراین، با توجه به افزایش بسیار وقوع طوفان‌های گردوغبار در چند سال گذشته در کشور و اهمیت شناخت تأثیرهای منفی ریزگرده در گیاهان، اهمیت مطالعه تأثیر ریزگردها بهمنزله عاملی برای ایجاد تنفس در گیاهان بسیار افزایش پیدا کرده است.

با توجه به اثبات آثار مخرب گردوغبار بر گیاهان، با قرار گرفتن گیاهان در معرض گردوغبار، پارامترهای گوناگون آنها همچون آب، کلروفیل، بیوماس گیاهان دچار تغییراتی می‌شود. هریک از این پارامترها به تنهایی در طول موج‌های متفاوت تأثیر دارند و ممکن است دارای چندین باند جذبی در طیف الکترومغناطیس باشند. برای نمونه، آب گیاه دارای باندهای جذبی با مراکز باندی ۹۷۰، ۱۲۰۰، ۱۴۵۰ و ۱۹۵۰ نانومتر است (میرزابی و همکاران، ۱۳۹۰) که به علت تعدد این باندها، روش‌های متفاوتی برای تخمین پارامترهای مورد نظر استفاده می‌شود. در سال‌های اخیر شاخص‌های پهن‌باند برای مطالعه برخی از این پارامترها به کار رفته است (Tucker., 1997; Chen et al., 2005).

اما داده‌های پهن‌باند به دلیل میانگین‌گیری از اطلاعات طیفی در دامنه وسیع طیف الکترومغناطیس، باعث از بین رفتن اطلاعات می‌شوند و در زمینه کمی‌سازی میزان این پارامترها دچار محدودیت می‌شوند (Hansen and Schjoerring., 2003).

با پیشرفت تکنولوژی ساخت سنجنده و تولید سنجنده‌های ابرطیفی در دهه ۱۹۸۰ تحول بزرگی در

بحران‌های زیست محیطی، و به ویژه آلودگی هوا، مسئله‌ای است که طی سالیان متمادی تقریباً همه مناطق جهان را تحت تأثیر قرار می‌دهد (شائیمی و حبیبی، ۱۳۸۸). گردوغبار یکی از بحaran‌های زیست محیطی است که طی سالیان گذشته فراوانی و شدت وقوع آن افزایش بسیاری داشته است. فراوانی وقوع این پدیده با وضعیت اقلیم محلی ارتباط نزدیکی دارد و در مناطق خشک و نیمه‌خشک بسیار شایع است. کشور ایران به دلیل قرار داشتن در مناطق مستعد، در معرض سیستم‌های گردوغبار محلی و سینوبیتیکی متعدد است (رسولی و همکاران، ۱۳۸۹). منشأ اصلی این طوفان‌های گردوغبار برای ایران، کشورهای عراق، سوریه و عربستان‌اند.

این طوفان‌ها بیشتر مناطق غربی و جنوبی ایران را که کشاورزی نقش مهمی در اقتصاد خانوار داراست، تحت تأثیر قرار می‌دهد. در ایران گندم مهم‌ترین گیاه زراعی به شمار می‌رود (زاهدی‌فر و همکاران، ۱۳۹۰) و در مقایسه با دیگر محصولات و غلات، بیشترین سطح زیرکشت را به خود اختصاص می‌دهد (Greenway & Munns, 1980). تنفس گیاه در شرایطی رخ می‌دهد که شرایط یا ماده‌ای نامطلوب در متابولیسم گیاه تأثیر منفی بگذارد و یا مانع رشد و نمو گیاه شود (Lichtenthaler et al., 1996). از مهم‌ترین عوامل ایجاد تنفس گیاهی یادشده در منابع می‌شود به کمبود آب، آلاینده‌های زیست محیطی، شوری آب، کمبود عنصر غذایی، تغییرات دما و آفات اشاره کرد (Kim et al., 2011). مطالعات پیشین نشان دادند که ریزگردها آثار منفی بسیاری در گیاهان می‌گذارند (Farmer, 1993). ریزگردها، به دلیل داشتن قطر کم، به بافت‌های میانی گیاه نفوذ می‌کنند و با آب میان‌بافتی واکنش نشان می‌دهند (صادقی‌روش و خراسانی، ۱۳۸۹). از دیگر آثار زیانبار ریزگردها می‌شود به افزایش دمای برگ (Eller, 1977)

بنابراین در این مطالعه، بهترین باندها و محدوده‌های طیفی مطلوب برای این چهار شاخص گیاهی NDVI، RVI، SAVI2 و PVI در مشخص کردن تعداد روزهای گردوغباری در مراحل رشد سهبرگی و خوشدهی گندم تعیین شد. همچنین، تأثیر گردوغبار در بازتابندگی طیفی و میزان کلروفیل گندم نیز مورد بررسی قرار گرفت.

۲- مواد و روش‌ها

۱-۱- طرح آزمایش‌ها

این پژوهش در بازه زمانی بهمن ۱۳۹۱ تا خرداد ۱۳۹۲، در گلخانه تحقیقاتی دانشکده کشاورزی دانشگاه تربیت مدرس انجام گرفت. بذرهای رقم‌های پیشتاز و افلاک از گونه گندم *Triticum aestivum* L.، از مؤسسه تحقیق اصلاح بذر و نهال بهمنزه رقم‌های کشت در مناطق تحت تأثیر گردوغبار تهیه شد. این بذرها در گلدان‌های پلاستیکی به قطر دهانه ۱۸ و ارتفاع ۱۴ کاشته و برای ایجاد پوشش همسان، پس از جوانهزنی و دوبرگه شدن در هر گلدان ۲۰ گیاهچه نگهداری و باقی گیاهچه‌ها حذف شدند. دما و رطوبت گلخانه با توجه به مرحله رشد به طور متناسب تنظیم شد. در شکل ۱ مراحل گوناگون رشد گندم نشان داده شده است.



شکل ۱. مراحل رشد گندم در گلخانه؛ (الف) جوانهزنی، (ب) خوشدهی، (ج) گلدهی، (د) سهبرگی شدن

زمینه مطالعات گیاهان ایجاد شد. داده‌های ابرطیفی بهدلیل پیوستگی و پهنای کم باندهای طیفی، قابلیت بالایی در مطالعه، پایش و کمی‌سازی ویژگی‌های بیوشیمیایی و بیوفیزیکی گیاهان دارند (Darvishzadeh et al., 2008) همبستگی برای انتخاب بهترین عملکرد شاخص‌ها برای گندم (Li et al., 2009)، برنج (Stroppiana et al., 2010) و ذرت، سویا، پنبه و گوجه (Thenkabail et al., 2000) و علفزار (Darvishzadeh et al., 2008) استفاده شده است. این روش شاخص‌های جدید پوشش گیاهی باریک‌باند را با ترکیب تصادفی دو یا چند باند از بین همه باندهای موجود، شناسایی می‌کند و میزان همبستگی آن‌ها با میزان متغیر مورد نظر را مورد ارزیابی قرار می‌دهد.

مطالعات بسیاری مؤثر بودن روش شاخص‌های باریک‌باند گیاهی را در مطالعه تنش‌های متفاوت گیاهی ثابت کرده‌اند (Hamzeh et al., 2013; Cao et al., 2013; Chávez et al., 2013) با اینکه در این مطالعات طیف وسیعی از شاخص‌های باریک‌باند گیاهی برای بررسی تنش‌های گیاهی استفاده شده‌اند، این طیف وسیع شاخص‌ها از توسعه چند شاخص پهن‌باند محدود تولید شده‌اند و تنها نکته تمایزکننده باندهای ورودی آن‌هاست و با گرفتن طول موج‌های متفاوت، نامهای متفاوتی برای آن‌ها در نظر گرفته می‌شود.

برای نمونه، از شاخص‌های باریک‌باند استخراج شده از شاخص پهن‌باند NDVI، می‌شود به شاخص‌های باریک‌باند $\text{NDII} = \frac{\rho_{\lambda_{819}} - \rho_{\lambda_{1649}}}{\rho_{\lambda_{819}} + \rho_{\lambda_{1649}}}$ و $\text{PRI} = \frac{\rho_{\lambda_{531}} - \rho_{\lambda_{570}}}{\rho_{\lambda_{531}} + \rho_{\lambda_{570}}}$ اشاره کرد (Hamzeh et al., 2013). با بررسی‌های صورت گرفته مشخص شد که مهم‌ترین شاخص‌های باریک‌باند به کارفته در مطالعات پیشین از چهار شاخص پوشش گیاهی تفاضل پوشش گیاهی نرمال‌شده (NDVI)، نسبت ساده پوشش گیاهی (SAVI2)، شاخص تعديل‌کننده تأثیر خاک دوم (RVI) و شاخص پوشش گیاهی ستونی (PVI) ایجاد شده‌اند (Hamzeh et al., 2013; Cao et al., 2013; Chávez et al., 2013)



شکل ۲. گندم با تعداد متفاوت روزهای گرد و غباری؛ (الف) صفر روز، (ب) دو روز، (ج) چهار روز، (د) شش روز.

درنتیجه، به کمترین میزان رساندن آثار تابش پراکنده با استفاده از دستگاه طیفسنج 3 Fieldspec صورت گرفت. این دستگاه اندازه‌گیری طیفی را در محدوده ۳۵۰ تا ۲۵۰۰ نانومتر و نمونه‌گیری طیفی را با فاصله ۱/۴ نانومتر در محدوده ۱۰۰۰-۲۵۰۰ نانومتر انجام می‌دهد. حسگر محدوده ۱۰۰۰-۲۵۰۰ نانومتر درجه در پیستول فیبر نوری با میدان دید هشت درجه در ۹۰ سانتیمتری شد و با استفاده از سه پایه در ارتفاع ۹۵ سانتیمتری، به طور عمود از سطح گلدان قرار گرفت. در این تنظیمات، طیفسنج میدان مشاهداتی دایره‌ای شکل، به قطر ۱۳ سانتی‌متر در سطح گلدان دارد. از لامپ هالوژن ۲۵۰ وات و با زاویه ۷۵ درجه و در ارتفاع ۹۵ سانتیمتری همچون منبع نور مصنوعی استفاده شد. با توجه به اینکه اندازه‌گیری‌های اولیه که به وسیله طیفسنج انجام می‌شد، با نمونه و منبع نور تحت تأثیر قرار می‌گیرد، نقطه مرکز گلدان با مرکز نور و مرکز FOV تنظیم و اطمینان حاصل شد که FOV سنجنده به طور کامل با گلدان پوشش داده می‌شود. در این روش، شرایط نوری ثابت است و میزان بازتابندگی متفاوت، بسته به سطح برگ و شکل برگ گونه‌ها، تغییر می‌کند. به‌منظور دستیابی به میانگینی از اختلاف‌ها در جهات تاج‌پوشش (Bidirectional Reflectance Distribution Function)، پس از هر بار اندازه‌گیری، گلدان به اندازه ۴۵ درجه چرخانده شد و دوباره اندازه‌گیری صورت گرفت. در شکل ۳ روش طیفسنجی نشان داده شده است.

1. Shahsavani et al.

۲-۲- داده‌های مورد استفاده

در این پژوهش، از داده‌های مربوط به طول مدت و میزان غلظت طوفان‌های گردوغبار در بازه زمانی سال ۱۳۸۰ و ۱۳۸۸ کشور به‌منظور انتخاب صحیح طول دوره تنش استفاده شد.

۲-۳- ایجاد تنش گرد و غبار

برای شبیه‌سازی گردوغبار، محیطی تقریباً بسته و با شرایطی مشابه گلخانه به‌منظور ایجاد گردوغبار آماده شد. سپس با استفاده از نمونه‌های جمع‌آوری شده از مراکز مستعد تولید گردوغبار و یک دستگاه تونل باد قابل انتقال، گردوغبار در محیط آزمایشگاهی شبیه‌سازی شد. با توجه به نتایج مطالعات شاهسونی و همکاران^۱ (۲۰۱۲) غلظت ذرات معلق در هوا به میزان ۱۵۰۰ میکروگرم بر مترمکعب درنظر گرفته شد. با تغییر سرعت باد میزان غلظت گردوغبار در هوا به صورت تجربی تنظیم شد. برای آگاهی از غلظت و روش توزیع اندازه ذرات معلق در هوا، از دستگاه غبارسنج مدل ۱۷۶۰۰۰A Microdust Pro Dust Monitor این دستگاه قابلیت اندازه‌گیری میزان ذرات معلق در هوا، با غلظت‌های بین ۰/۰۰۱ تا ۲۵۰۰ میلی گرم بر مترمکعب، را دارد. در این دستگاه نور NIR با طول موج ۸۸۰ نانومتر بر نمونه تابانده می‌شود که بر اثر برخورد نور تابیده شده با ذرات معلق، این نور پخش می‌شود. نور پخش شده متناسب با میزان غلظت ذرات است و به وسیله آشکارسازهای نور اندازه‌گیری می‌شود. در این دستگاه، با استفاده از زاویه پخش کم (۰-۲۰)، درجه عدم قطعیت مرتبط با رنگ، شکل و شاخص انکسار ذرات بسیار کاهش می‌یابد (Aziakpono et al., 2013). در شکل ۲ گیاه گندم با تعداد روزهای گردوغباری متفاوت نشان داده شده است.

۲-۴- اندازه‌گیری طیفی

اندازه‌گیری‌های طیفی از نمونه‌ها در اتاق تاریک، به‌منظور جلوگیری از ورود هرگونه نور اضافی و

کالیبراسیونی که مارکویل و همکاران (۱۹۹۵) توسعه داده‌اند، به ارزش واقعی کلروفیل ($\mu\text{g cm}^{-2}$) تبدیل شد.

۶-۲- پیش‌پردازش داده‌ها

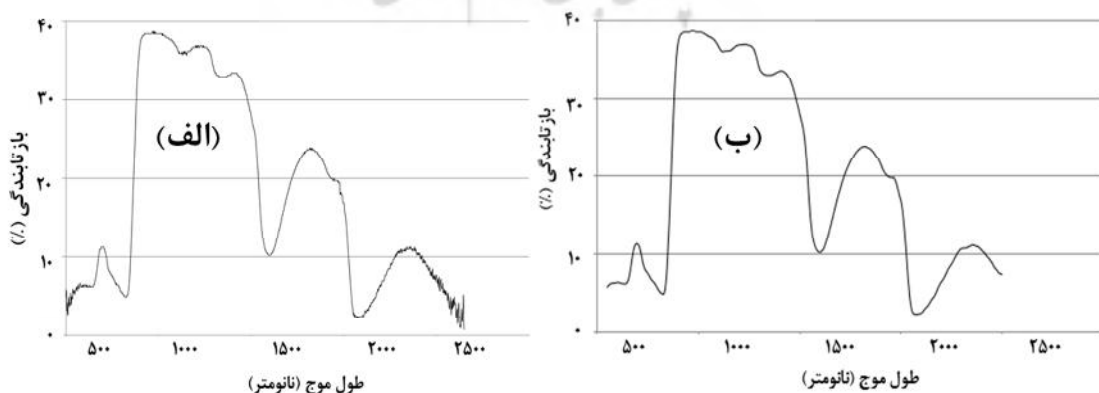
همه ۵۲۰ طیف حاصل پس از تبدیل فرمت وارد محیط نرم‌افزار MATLAB شد. نخست، هفده منحنی طیفی که نویز بسیار بالایی داشتند (۷۲ انحراف معیار از میانگین) حذف شدند (Schaepman Strub et al., 2008). طول موج‌های بین ۳۵۰-۴۰۰ نانومتر و ۲۴۰۰-۲۵۰۰ نانومتر، به علت داشتن میزان بالای نویز از داده‌ها حذف شد و ۲۰۰۰ طول موج باقی‌مانده برای Savitzky-Golay پردازش‌ها به کار رفت. از فیلتر (Savitzky and Golay, 1964) با اندازه فریم ۱۵ برای حذف نویزهای طیفی‌های میانگین استفاده شد. برای انتخاب اندازه فریم برای این فیلتر، نخست، از میزان فریم با ابعاد کم آغاز و سپس، به صورت تجربی، فریم ۱۵ انتخاب شد. پس از اعمال فیلتر نرم‌کننده از هشت طیف اندازه‌گیری شده برای هر نمونه که به منظور میانگین‌گیری استفاده شد، در کل ۶۵ طیف اندازه‌گیری شده وجود داشت که ۳۳ عدد از آن مربوط به مرحله سهبرگی شدن و ۳۲ عدد از آن مربوط به مرحله خوشیده بود. در شکل ۴ منحنی بازتابندگی طیفی خام و بازتابندگی طیفی پیش‌پردازش شده نشان داده شده است.



شکل ۳. روش اندازه‌گیری طیفی در اتاق تاریک

۵-۲- اندازه‌گیری کلروفیل

به همراه اندازه‌گیری بازتابندگی طیفی، مقدار کلروفیل نمونه‌ها نیز اندازه‌گیری شد. برای اندازه‌گیری غلظت کلروفیل از دستگاه کلروفیل سنج مدل SPAD-502 استفاده شد. این دستگاه با اندازه‌گیری میزان عبور در طول موج‌های ۶۵۰ و ۹۲۰ نانومتر، میزان کلروفیل را با روش ساده و غیرمخرب تخمین می‌زند (Watanabe et al., 1980). این دستگاه مقدار بدون واحدی ارائه می‌دهد که همبستگی بالایی با میزان کلروفیل گیاه دارد. با استفاده از دستگاه از پنج برگ از هر گلدان که معرف وضعیت گلدان بود، اندازه‌گیری و از این پنج مقدار میانگین‌گیری شد. سپس این مقادیر میانگین با استفاده ازتابع



شکل ۴. منحنی بازتابندگی طیفی (الف) ثبت شده با دستگاه طیفسنج، (ب) پس از پیش‌پردازش.

به وسیله باقیمانده نمونه‌ها تخمین زده می‌شود. در این مطالعه، برای ۶۵ نمونه موجود هر مرتبه مدل رگرسیون خطی برای ۶۴ مشاهده اجرا می‌شود و تعداد روزهای گردوغباری نمونه‌ای که در رگرسیون وجود ندارد، تخمین زده و میزان خطای آن محاسبه می‌شود. برای به دست آوردن میزان کارآیی مدل در تخمین تعداد روزهای گردوغباری از ضریب تعیین (R^2) روش ریشه میانگین مربعات خطای نسبی (RMSE) استفاده شد. RMSE با استفاده از این معادله محاسبه شد:

$$RMSE = \sqrt{\frac{\sum_{i=1}^N (Y_i - \bar{Y}_i)^2}{N}} \quad (1)$$

که در اینجا \bar{Y} تعداد روزهای گردوغباری مشاهده شده در آزمایشگاه، \bar{Y} تعداد روزهای گردوغباری تخمین زده شده به وسیله مدل ساخته شده و N تعداد نمونه‌هاست.

۳- نتایج و بحث

۱-۳- میزان کلروفیل و رابطه کلروفیل و تعداد روزهای گردوغباری

نتایج حاصل از اندازه‌گیری غلظت کلروفیل نمونه‌های گندم در جدول ۲ نشان داده شده است. این نتایج نشان می‌دهد که بیشترین غلظت کلروفیل مربوط به نمونه‌های شاهد (صفر روز) و کمترین غلظت مربوط به تیمارهای شش روز گردوغباری است. تیمارهای شش روز گردوغباری، افزون بر داشتن کمترین میزان کلروفیل، کمترین دامنه تغییرات و انحراف معیار را نیز دارند.

۷-۲- شاخص‌های گیاهی باریک‌باند

چهار شاخص گیاهی، برای همه ترکیبات طول موجی دوباندی ممکن، بین ۴۰۰ تا ۲۴۰۰ نانومتر محاسبه شد. شاخص‌های باریک‌باند به کاررفته در این تحقیق شامل شاخص‌های نسبتی و شاخص‌های تعدیل‌کننده تأثیر خاک‌اند. شاخص‌های نسبتی استفاده شده در این مطالعه شامل شاخص‌های NDVI و RVI و شاخص‌های SAVI2 و PVI است. شاخص‌های نسبتی به دلیل اینکه دسترسی به ویژگی‌های طیفی خاک مشکل است و در صورت وجود، ممکن است دستخوش آثار ناشی از تغییرات خاک شود، به شاخص‌های تعدیل‌کننده تأثیر خاک ترجیح داده می‌شوند (Broge and Mortensen, 2002). فرمول‌های محاسبه شده برای شاخص‌های طیفی به کاررفته در این مطالعه در جدول ۱ آورده شده است. برای هریک از این شاخص‌ها بیشترین مقدار همبستگی و دو طول موج مربوط به آن و همچنین، محدوده‌های با همبستگی بالا به دست آمدند.

۸-۲- اعتبارسنجی تخمین تعداد روزهای

گردوغباری با شاخص‌های باریک‌باند

برای ارزیابی صحت برآورد تعداد روزهای گردوغباری به وسیله شاخص‌های باریک‌باند از روش اعتبار متقابل استفاده شد. روش اعتبار متقابل صحت کلی روش‌های گوناگون را نشان می‌دهد. در این روش، هر نمونه

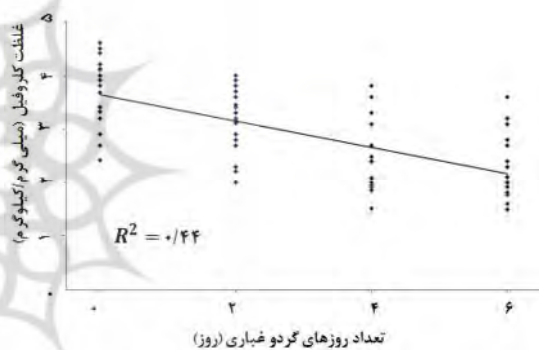
جدول ۱. فرمول شاخص‌های باریک‌باند محاسبه شده در این مطالعه. ρ نشان‌دهنده بازتابندگی، λ_1 و λ_2 طول موج و a و b ضرایب خط خاک در λ_1 و λ_2 است

نام	شاخص گیاهی	فرمول محاسبه شده	منبع
NDVI	شاخص اختلاف تفاضلی نرمال شده	$\frac{\rho_{\lambda_1} - \rho_{\lambda_2}}{\rho_{\lambda_1} + \rho_{\lambda_2}}$	(Rouse et al., 1974)
RVI	شاخص نسبتی ساده	$\frac{\rho_{\lambda_1}}{\rho_{\lambda_2}}$	(Pearson and Miller, 1972)
PVI	شاخص طیفی عمودی	$\frac{\rho_{\lambda_1} - a\rho_{\lambda_2} - b}{\sqrt{1 - a^2}}$	(Richardson and Wiegand, 1977)
SAVI2	دومین شاخص تعدیل‌کننده تأثیر خاک	$\frac{\rho_{\lambda_1}}{\rho_{\lambda_2} + (b/a)}$	(Major et al., 1990)

همه نمونه‌های طیفی مربوط به هر تیمار و نمونه‌های شاهد میانگین‌گیری شد. برای محاسبه میزان تغییرات طیفی‌های گیاهی، نسبت بین طیف‌های میانگین‌گیری شده هر تیمار و طیف مربوط به نمونه شاهد محاسبه شد (شکل ۴). این شکل نشان می‌دهد که میزان بازتابندگی طیفی گندم در شرایطی که درمعرض ریزگرددها قرار بگیرد، در بیشتر طول‌موج‌ها دچار تغییراتی می‌شود. این تغییرات در محدوده‌های متفاوت طیفی به صورت کاملاً متفاوت است. همان‌طور که در شکل ۶ دیده می‌شود، با افزایش تعداد روزهای گردوغباری، در محدوده‌های مرئی و به‌ویژه در محدوده‌های بیشینه، جذب رنگدانه‌ها افزایش پیدا کرده است. دلیل افزایش میزان بازتابندگی در این محدوده‌ها را می‌شود کاهش میزان کلروفیل ناشی از تنش بیان کرده (شکل ۵). در محدوده طیفی NIR، با افزایش تعداد روزهای گردوغباری، میزان بازتابندگی کاهش پیدا کرده است. این کاهش بیشترین میزان تغییر رخداده در رفتار طیفی گندم است (میزان بازتابندگی در این محدوده تا ۸۰ درصد بازتابندگی نمونه‌های شاهد کاهش می‌یابد). در محدوده طیفی SWIR، مانند محدوده طیفی مرئی، میزان بازتابندگی با افزایش تعداد روزهای گردوغباری افزایش می‌یابد. این افزایش باشدت کمتری در محدوده‌های بیشینه جذب آب، در حدود ۱۴۰۰ و ۱۸۰۰ نانومتر، اتفاق افتاده است. افزایش در این بیشینه‌های جذب آب ممکن است ناشی

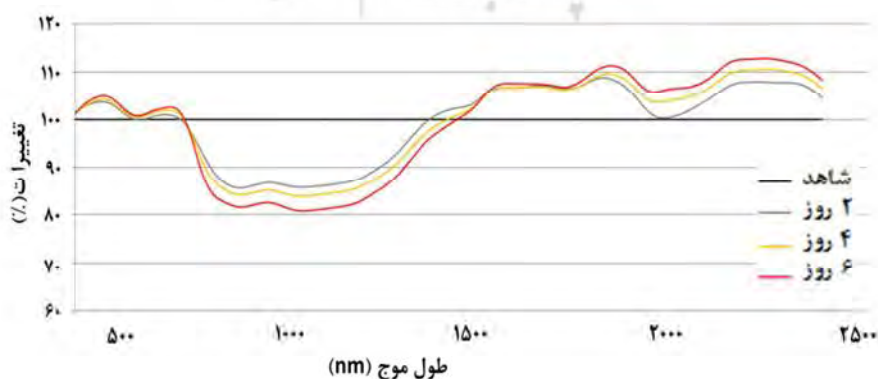
تعداد روزهای گردوغباری (روز)	میانگین کلروفیل نمونه (Kg/mg)	تعداد نمونه	انحراف معیار تغییرات کلروفیل (Kg/mg)	میانگین دامنه تغییرات کلروفیل (Kg/mg)	تعداد گردوغباری نمونه (روز)
۰	۲/۰۸	۱۷	۳/۶۶	۲/۰۸	۰
۲	۲/۰۱	۱۶	۳/۱۵	۲/۰۱	۲
۴	۲/۰۷۸	۱۶	۲/۴۷	۲/۰۷۸	۴
۶	۱/۷۲	۱۶	۲/۳	۱/۷۲	۶

با استفاده از روش رگرسیون خطی، همبستگی بین غلظت کلروفیل و تعداد روزهای گردوغباری محاسبه شد. نتایج این بررسی نشان داد که $R^2 = ۰/۴۴$ است و ارتباط به صورت منفی است (شکل ۵).



شکل ۵. رابطه بین میزان کلروفیل و تعداد روزهای گردوغباری

۲-۳- تغییرات در بازتابندگی طیفی برای بررسی تأثیر ریزگردها در رفتار طیفی گندم، از



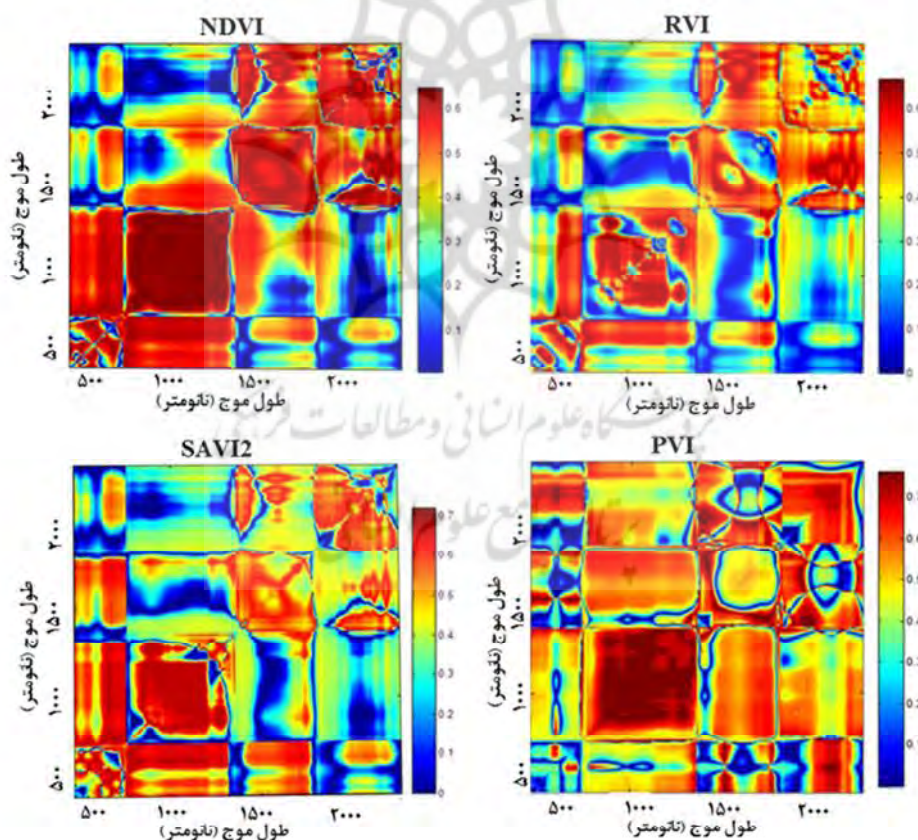
شکل ۶. تغییرات بین ارزش‌های بازتابندگی تیمارهای دو، چهار و شش روز و نمونه‌های شاهد

برای بررسی رابطه بین شاخص‌های پوشش گیاهی و تعداد روزهای گردوغباری، نخست، این شاخص‌ها برای کل ترکیب‌های جفت‌باندهای ممکن بین ۴۰۰ تا ۲۴۰۰ نانومتر محاسبه شد. سپس R^2 بین شاخص‌های پوشش گیاهی و تعداد روزهای گردوغباری محاسبه شد. نتایج این محاسبات برای کل ۶۵ نمونه موجود در پلات‌های دو بعدی همبستگی نشان داده شده است (شکل ۷). نقاط تقاطع هر جفت طول‌موج‌ها در پلات دو بعدی میزان R^2 بین تعداد روزهای گردوغباری و شاخص پوشش گیاهی محاسبه شده از بازتابندگی طیفی در آن دو طول‌موج است. پس از محاسبه ماتریس همبستگی بالاترین مقدار R^2 مربوط به هر شاخص انتخاب و به طور مجزا در رگرسیون قرار داده شد و مقادیر R^2 و RMSE کل این شاخص‌ها با باندهای متفاوت به دست آمد.

از افزایش تبخیر و تعرق آب گیاه به‌وسیله ریزگردها باشد. نتایج به‌دست‌آمده از تحقیقات آمبروست^۱ (۱۹۸۶)، فارمر^۲ (۱۹۹۳) و یوئلینگ^۳ (۱۹۶۹) نیز نشان داده است که با افزایش غلظت گردوغبار و کاهش اندازه ذرات، میزان تعرق و هدرافت گیاه افزایش می‌یابد.

۲-۳- شاخص‌های باریک‌باند و ارتباط آنها با تعداد روزهای گردوغباری

شاخص‌های باریک‌باند و همبستگی آن‌ها با تعداد روزهای گردوغباری، با استفاده از داده‌های به‌دست‌آمده همه نمونه‌ها در تمامی مراحل رشد، داده‌های نمونه‌های مربوط به مرحله رشد سه‌برگی شدن و داده‌های نمونه‌های مربوط به مرحله خوش‌دهی محاسبه شدند.



شکل ۷. نمایش دو بعدی میزان همبستگی (R^2) برای تخمین تعداد روزهای درمعرض گردوغبار گرفتن گندم در کل ۶۵ نمونه

1. Armbrust
3. Eueling

2. Farmer

مشابهی قرار گرفته‌اند، در حالی که فقط دو شاخص NDVI و RVI در مرحله رشد خوش‌دهی نتایج مشابهی دارند و باندهای بهینه شاخص‌های SAVI2 و PVI در محدوده‌های SWIR قرار دارد. از بین چهار شاخص محاسبه شده برای کل داده‌ها و همچنین، داده‌های دو مرحله رشد به طور جداگانه، دو شاخص تعديل کننده تأثیر خاک، PVI و SAVI2 همبستگی قوی ($R^2 > 0.7$) با تعداد روزهای گردوغباری دارند. در حالی که هر دو شاخص نسبتی NDVI و RVI همبستگی کمتر و تقریباً مشابهی را با تعداد روزهای گردوغباری دارند.

نتایج به طور کلی نشان می‌دهد که میزان همبستگی و نیز، میزان تغییر پذیری R^2 بین تعداد روزهای گردوغباری و شاخص‌ها در نمونه‌های مرحله سه‌برگی شدن، بیشتر از میزان همبستگی و تغییر پذیری R^2 در نمونه‌های مرحله خوش‌دهی است (جدول ۳).

۳-۳- ارزیابی صحت

میزان صحت تخمین تعداد روزهای گردوغباری به وسیله روش شاخص‌های باریک‌باند، با روش اعتبار مقابله ارزیابی شد. نتایج این ارزیابی‌ها برای هر سه گروه از داده‌ها در جدول ۴ نشان داده شده است.

جدول ۳. موقعیت‌های بهترین باند و ارزش R^2 برای تخمین تعداد روزهای در تنش گردوغبار گندم در نمونه‌های کل، سه‌برگی شدن و مرحله خوش‌دهی

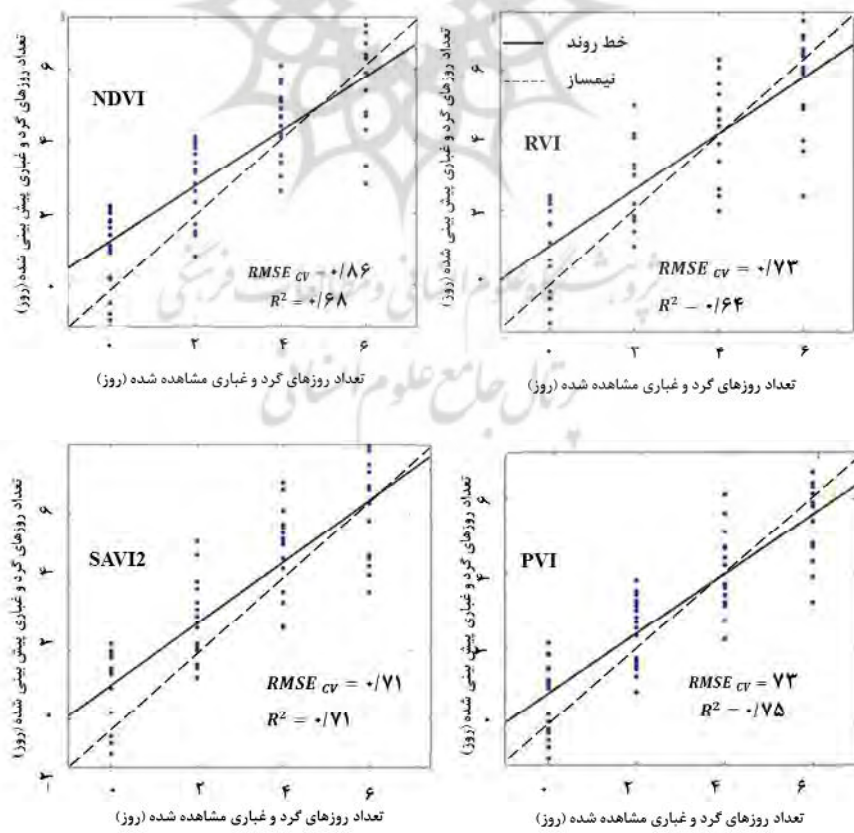
شاخص	کل نمونه‌ها			مرحله سه‌برگی شدن			مرحله خوش‌دهی		
	R^2	λ_1	λ_2	R^2	λ_1	λ_2	R^2	λ_1	λ_2
NDVI	0.65	1043	1197	0.67	970	1101	0.64	730	1190
RVI	0.67	874	1215	0.63	890	1304	0.64	1107	930
PVI	0.74	1212	435	0.77	1060	492	0.75	1328	1732
SAVI2	0.71	884	1059	0.74	1203	980	0.72	1789	1912

جدول ۴. اعتبار مقابله R^2 و RMSE برای تخمین تعداد روزهای در تنش گردوغبار قرار گرفتن گندم در کل نمونه‌ها، نمونه‌های مرحله سه‌برگی شدن و نمونه‌های مرحله خوش‌دهی

شاخص	کل نمونه‌ها		مرحله سه‌برگی شدن		مرحله خوش‌دهی	
	R^2_{CV}	RMSE _{CV}	R^2_{CV}	RMSE _{CV}	R^2_{CV}	RMSE _{CV}
NDVI	0.64	0.86	0.69	0.77	0.67	0.91
RVI	0.63	0.73	0.63	0.75	0.62	0.74
PVI	0.75	0.73	0.80	0.7	0.71	0.73
SAVI2	0.71	0.71	0.70	0.67	0.69	0.75

رابطه میان مقادیر برآورد شده تعداد روزهای گردوغباری، با استفاده از رگرسیون خطی، در شکل ۸ نشان داده شده است. مطابق شکل ۸، شاخص های گیاهی توانایی بسیاری برای تخمین تعداد روزهای گردوغباری دارند و تقریباً دقت این شاخص ها برای است اما شاخص های PVI و SAVI2 تعداد روزهای گردوغباری را بهتر تخمین می زنند. در شاخص های RVI و NDVI دیده می شود نمونه هایی که در معرض روزهای گردوغباری بیشتری قرار گرفته اند، در مقایسه با نمونه هایی که در معرض روزهای گردوغباری کمتری بودند، خطای گردوغباری بیشتری دارند که ممکن است نشان دهنده اشباع شدن شاخص هنگام افزایش تعداد روزهای گردوغباری باشد. اگرچه این تعداد نمونه برای نتیجه گیری در مورد اشباع کافی نیست و این مشکل احتمال دارد دقت تخمین را کاهش دهد (Thenkabail et al., 2000).

برای بررسی صحت ارزیابی از دو پارامتر R^2_{CV} و $RMSE_{CV}$ استفاده شد. بررسی ها نشان داد که در سه حالت ممکن، میزان $RMSE_{CV}$ دو شاخص PVI و SAVI2 از شاخص های دیگر کمتر است و فقط در داده های مربوط به مرحله خوش بذری میزان $RMSE_{CV}$ مربوط به شاخص PVI بیشتر است (جدول ۴). همچنین، نتایج روش اعتبار متقابل نشان می دهد که میزان صحت سه شاخص SAVI2، RVI و NDVI در داده های مرحله سه بزرگی شدن بیشتر از داده های مرحله خوش بذری است. افزون بر آن، نتایج روش اعتبار متقابل نشان می دهد که میزان تغییر بذری در صحت روش شاخص های باریک باند داده های مرحله خوش بذری بیشتر از داده های مرحله سه بزرگی شدن بین $RMSE_{CV}$ و $0/67$ و $0/77$ تغییر می کند، در حالی که برای مرحله خوش بذری این مقدار بین $0/73$ و $0/91$ تغییر می کند. بهترین شاخص برای همه داده ها شاخص PVI است.



شکل ۸. تخمین تعداد روزهای گردوغباری با استفاده از روش اعتبار متقابل به وسیله شاخص های گیاهی متفاوت برای کل ۶۵ نمونه

۴- نتیجه‌گیری

صادقی‌روش، م.ح، خراسانی، ن.ا، ۱۳۸۸، بررسی آثار گرد و غبار ناشی از صنایع سیمان بر تنوع و تراکم پوشش گیاهی، مطالعه موردي: کارخانه سیمان آبیک، فصلنامه علوم و تکنولوژی محیط‌زیست، دوره دهم، شماره ۱، صص. ۱۱۹-۱۰۷.

Zahedi, M., Karamian, N. A., Ronchi, U. H., Yashri, J., 2010, توزیع فسفر و روی در اندام‌ها و در مراحل مختلف رشد گندم در مزرعه، نشریه آب و خاک، جلد ۲۵، شماره ۳، صص. ۴۴۵-۴۳۶.

عبدل‌زاده، ا.، صفاری، ن.، ۱۳۸۱، بررسی اثرات شوری خاک بر رشد رویشی در یازده رقم ولاین گندم با تکیه بر انباشتگی یون‌ها، مجله علوم کشاورزی و منابع طبیعی، سال نهم، شماره ۲، صص. ۹۵-۱۰۳.

میرزایی، م.، درویش‌زاده، ر.، شکیبا، ع.ر.، متکان، ع.ا.، ۱۳۹۰، انتخاب شاخص‌های فراتیفی (باریک‌باند) بهینه برای تخمین محتوای آب گیاهان با درنظر گرفتن شرایط متفاوت تراکم تاج پوشش گیاه و خاک پس‌زمینه، مجله سنجش از دور و GIS ایران، سال سوم، شماره ۱، صص. ۵۵-۷۰.

Armbrust, D.V., 1986, Effect of Particulates (Dust) on Cotton Growth, Photosynthesis, and Respiration, Agronomy Journal, 78(6): 1078-1081.

Aziakpono, O.M., Ukpebor, E.E., Ukpebor, J.E., & Nosa, O.G., 2013, Atmospheric Trace Metal Concentrations of Total Suspended Particulate Matter in Isoko land, Southern Nigeria, International Journal of Advanced Research, 1(8): 540-548.

در این مطالعه، با استفاده از داده‌های آزمایشگاهی تأثیر گردوغبار در بازتابندگی طیفی و میزان کلروفیل تاج پوشش گندم مشخص و باندهای بهینه برای تعیین تأثیر ریزگردها در بازتابندگی طیفی گندم معرفی شد. تغییرات ایجادشده در بازتابندگی گندم، پس از قرار گرفتن در معرض ریزگردها در دامنه‌های متفاوت طیفی، تفاوت‌های بسیاری دارد که بیشترین و بارزترین تغییرات کاهش میزان بازتابندگی در محدوده فروسرخ نزدیک است. باندهای انتخاب شده، بهمنزله باندهای بهینه، بیشتر در محدوده مرئی و فروسرخ نزدیک قرار داشتند. فقط در مرحله خوشده‌ی باندهای بهینه انتخاب شده در محدوده طیفی SWIR قرار داشت. نتایج نشان داد که شاخص‌های تعديل‌کننده اثر خاک نتایجی مناسب‌تر از شاخص‌های نسبتی تولید می‌کنند. در نهایت، شاخص PVI بهمنزله مناسب‌ترین شاخص برای مطالعه تأثیر ریزگردها در گندم انتخاب شد. از نتایج دیگر این شاخص می‌شود به تحت تأثیر قرار نگرفتن در مقابل قرارگیری خاک پشت زمینه بسیار در میدان مشاهداتی طیفسنج دستگاه، در مقایسه با شاخص‌های نسبتی مرتبط، اشاره کرد. نتایج، همچنین، نشان داده که روش شاخص‌های باریک‌باند آثار ریزگردها در گیاهان را در مراحل اولیه رشد، بهنسبت مراحل انتهایی رشد، بیشتر آشکار می‌کنند.

۵- سپاسگزاری

نگارندگان بدین وسیله مراتب سپاس و قدردانی خود را از گروه خاک‌شناسی دانشگاه تربیت مدرس، بهدلیل در اختیار قرار دادن گلخانه و آزمایشگاه برای انجام دادن این پژوهش، ابراز می‌دارند.

۶- منابع

شائمه، ا.، حبیبی، م.، ۱۳۸۸، گرمایش جهانی پیامدهای زیستی و اکولوژیکی، انتشارات ترجمان خرد، تهران.

- Broge, N.H., & Mortensen, J.V., 2002, **Deriving Green Crop Area Index and Canopy Chlorophyll Density of Winter Wheat from Spectral Reflectance Data**, Remote Sensing of Environment, 81(1): 45–57.
- Cao, X., Luo, Y., Zhou, Y., Duan, X., & Cheng, D., 2013, **Detection of Powdery Mildew in Two Winter Wheat Cultivars Using Canopy Hyperspectral Reflectance**, Crop Protection, 45(3): 124-131.
- Chávez, R.O., Clevers, J.G.P.W., Herold, M., Ortiz, M., & Acevedo, E., 2013, **Modelling the Spectral Response of the Desert Tree Prosopis Tamarugo to Water Stress**, International Journal of Applied Earth Observation and Geoinformation, 21: 53–65.
- Chen, D., Huang, J., & Jackson, T.J., 2005, **Vegetation Water Content Estimation for Corn and Soybeans Using Spectral Indices from MODIS near- and Shortwave Infrared Bands**, Remote Sensing of Environment, 98(2-3): 225-236.
- Darley, E., 1966, **Studies on the Effect of Cement-Kiln Dust on Vegetation**, Journal of Air Pollution Control Association, 16(3): 145-150.
- Darvishzadeh, R., Skidmore, A., Schlerf, M., Atzberger, C., Corsia, F. & Choa, M., 2008, **LAI and Chlorophyll Estimation for a Heterogeneous Grassland Using Hyperspectral Measurements**, ISPRS Journal of Photogrammetry & Remote Sensing, 63(4): 409–426.
- Eller, B.M., 1977, **Road Dust Induced Increase of Leaf Temperature**, Environmental Pollution, 13: 99-107.
- Eueling, D.W., 1969, **Effects of Spraying Plants with Suspensions of Inert Dusts**, Annals of Applied Biology, 64: 139- 151.
- Farmer, A.M., 1993, **The Effects of Dust on Vegetation-Areview**, Environmental Pollution, 79: 63-75.
- Greenway, H. & Munns, R., 1980, **Mechanisms of Salt Tolerance in Nonhalophytes**, Annual Review of Plant Biology, 31: 149-190.
- Hamzeh, S., Naseri, A.A., AlaviPanah, S.K., Mojarradi, B., Bartholomeus, H.M., Clevers, J.G.P.W. & Behzad, M., 2013, **Estimating Salinity Stress in Sugarcane Fields with Spaceborne Hyperspectral Vegetation Indices**, International Journal of Applied Earth Observation and Geoinformation, 21: 282–290.
- Hansen, P.M. & Schjoerring, J.K., 2003, **Reflectance Measurement of Canopy Biomass and Nitrogen Status in Wheat Crops Using Normalized Difference Vegetation Indices and Partial Least Squares Regression**, Remote Sensing of Environment, 86(4): 542–553.
- Jilili, A., DongWei, L. & GuangYang, W., 2010, **Saline Dust Storms and their Ecological Impacts in Arid Regions**, Journal of Arid Land, 2(2): 144-150.
- Kim, Y., Glenn, D.M., Park, J., Ngugi, H.K. & Lehman, B.L., 2011, **Hyperspectral Image Analysis for Water Stress Detection of Apple Trees**, Computers and Electronics in Agriculture, 77(2): 155-160.
- Lichtenthaler, H.K., Lang, M., Sowinska, M., Heisel, F. & Miehe, J.A., 1996, **Detection of Vegetation Stress via a New High Resolution Fluorescence Imaging System**, Journal of Plant Physiology, 148(5): 599-612.
- Li, F., Hennig, S.D., Gnyp, M.L., Chen, X., Jia, L. & Bareth, G., 2010, **Evaluating Hyperspectral Vegetation Indices for Estimating Nitrogen Concentration of Winter Wheat at Different Growth Stages**, Precise Agriculture, 11(4), 335-357.
- Major, D.J., Baret, F. & Guyot, G., 1990, **A Ratio Vegetation Index Adjusted for Soil Brightness**, International Journal of Remote Sensing, 11 (5): 727-740.
- Manning, W.J., 1971, **Effects of Limestone Dust on Leaf Condition, Foliar Disease Incidence, and Leaf Surface Microflora of Native Plants**, Environmental Pollution, 2(1): 69-76.

- Nanos, G.D & Ilias, I.F., 2007, **Effects of Inert Dust on Olive (*Olea europaea L.*) Leaf Physiological Parameters**, Env Sci Pollut Res, 14 (3): 212-214.
- Richardson, A.J. & Wiegand, C.L., 1977, **Distinguishing Vegetation from Soil Background Information**, Photogrammetric Engineering and Remote Sensing, 43: 1541-1552.
- Rouse, J.W., Haas, R.H., Schell, J.A., Deering, D.W. & Harlan, J.C., 1974, **Monitoring the Vernal Advancement of Retrogradation of Natural Vegetation**, NASA/GSFC, Type III, final report, Greenbelt, MD.
- Savitzky, A. & Golay, M.J.E., 1964, **Smoothing and Differentiation of Data by Simplified Least Square Procedure**, Analytical Chemistry, 36 (8): 1627-1638.
- Schaepman-Strub, G., Limppens, J., Menken, M., Bartholomeus, H.M. & Schaepman, M.E., 2008., **Towards Spatial Assessment of Carbon Sequestration in Peatlands: Spectroscopy Based Estimation of Fractional Cover of Three Plant Functional Types**, Biogeosciences Discussion, 5(2): 1293-1317.
- Shahsavani, A., Naddafi, K., Jaafarzadeh Haghighifard, N.A., Mesdaghinia, A.R., Yunesian, M., Nabizadeh, R., Arhami, M., Yarahmadi, M., Sowlat, M.H., Ghani, M., Jonidi Jafari, A., Alimohamadi, M., Motevalian, S.A. & Soleimani, Z., 2012, **Characterization of Ionic Composition of TSP and PM10 during the Middle Eastern Dust (MED) Storms in Ahvaz, Iran**, Environmental Monitoring and Assessment, 184(11): 6683-6692.
- Stroppiana, D., Boschetti, M., Brivio, P.A. & Bocchi, S., 2009, **Plant Nitrogen Concentration in Paddy Rice from Field Canopy Hyperspectral Radiometry**, Field Crop Research, 111(1-2): 119-129.
- Thenkabail, P., Smith, R. & De Pauw, E., 2000, **Hyperspectral Vegetation and their Relationships with Agricultural Crop Characteristics**, Remote Sensing of Environment, 71 (2): 158-182.
- Tucker, C.J., 1979, **Red and Photographic Infrared Linear Combinations for Monitoring Vegetation**, Remote Sensing of Environment, 8(2): 127- 150.
- Watanabe, S., Hatanaka, Y. & Inada, K., 1980, **Development of a Digital Chlorophyll Meter: I. Structure and Performance**, Japanese Journal of Crop Science, 49(1): 89-90.